

مقایسه مدل‌های غیرخطی برای پیش‌بینی نرخ رشد و نمو مراحل مختلف رشدی * زنبور پارازیتوئید

***Habrobracon hebetor* (Hym.: Braconidae)**

Comparison of non-linear models for predicting developmental rate of
different life stages of *Habrobracon hebetor* (Hym.: Braconidae)

مریم فروزان^۱، احمد صحراء‌گرد^{۱**} و مسعود امیرمعافی^۲

۱- گروه گیاهپزشکی دانشکده کشاورزی دانشگاه گیلان

۲- موسسه تحقیقات گیاهپزشکی کشور، تهران

(تاریخ دریافت: فروردین ۱۳۸۳، تاریخ پذیرش: مهر ۱۳۸۶)

چکیده

رابطه بین دما و نرخ رشد و نمو مراحل مختلف رشدی زنبور پارازیتوئید *Habrobracon hebetor* (Hym.: Braconidae) مورد مطالعه قرار گرفت. طول دوره رشدی مراحل مختلف زنبور پارازیتوئید در دماهای متغیر بدست آمد. هفت مدل غیرخطی مربوط به اثر دما روی نرخ رشد و نمو حشره با داده‌ها انطباق داده شد. تجزیه و تحلیل آماری نشان داد که مدل‌های Logan ۱ و Stinner (بر اساس^۲) به خوبی با داده‌های مراحل مختلف رشدی *H. hebetor* انطباق دارند. در این بررسی روابط مربوط به هر یک از مدل‌های فوق برای کلیه مراحل رشدی پارازیتوئید نیز ارایه شده است.

واژه‌های کلیدی: *Habrobracon hebetor*, Braconidae, دما، مدل‌های غیر خطی

*این مقاله بر اساس نتایج پایان نامه دوره کارشناسی ارشد نگارنده اول ارایه گردیده است.

** Corresponding author: sahragard@guilan.ac.ir

مقدمه

زنبور پارازیتویید، *Say* *Habrobracon hebetor* Say پارازیتویید خارجی، Idiobiont و اجتماعی لارو تعداد زیادی از پروانه‌ها است (Quicke & Van Achterberg, 1990). این زنبور پارازیتویید، از ایران برای اولین بار، توسط Farahbakhsh (1961) از ورایمن جمع آوری و گزارش شده است. استفاده از زنبور پارازیتویید *H. hebetor* sp. به عنوان عامل کنترل بیولوژیک جهت کنترل لارو *Heliothis* در ایران از سال ۱۳۷۴ با تولید ۲۵۰۰۰۰ زنبور و رهاسازی آنها در سطح ۲۲۳۰ هکتار از مزارع کشور آغاز گردید. در طی ۹ سال، میزان تولید این زنبور پارازیتویید به ۱۵۷۶۰۰۰۰ عدد رسید و سطح زیر پوشش کنترل بیولوژیک در طی این مدت حدود ۶ برابر شد که علیه لارو آفات مهم گیاهان زراعی مانند پنبه، ذرت، گوجه فرنگی، سویا و نخود بکار می‌رود (Anonymous, 2004).

بسیاری از فرایندهای اکولوژیک تحت تأثیر اقلیم و به ویژه دما می‌باشند. لذا بدلیل اینکه وقوع پدیده‌ها در فصول مختلف سال و در مکان‌های مختلف متفاوت است، بنظر می‌رسد مطالعه اثر متقابل بین محیط (به ویژه دما) و رشد حشرات جزء مهم مطالعات اکولوژیک باشد (Cammell & Way, 1987).

اولین بار ۲۵۰ سال قبل Reumore نقش دما را روی رشد و نمو لاروهای یک نوع پروانه مورد بررسی قرار داد (Higley *et al.*, 1986)، از آن تاریخ تا کنون در مورد اثر دما روی توزیع (Wagner & Villavaso, 1999)، باروری و دیگر ویژگی‌های بیولوژیک (Mesenger, 1959) حشرات آفت (Aliniazee, 1976) و دشمنان طبیعی آفات (Lopez *et al.*, 1997; Dreyer *et al.*, 1997) مقالات متعددی منتشر شده است. پیش‌بینی نرخ رشد حشرات در طی صد سال گذشته در حشره‌شناسی کاربردی، مورد توجه زیادی قرار گرفته و در این مدت توابع ریاضی متعددی برای توصیف نرخ رشد، به عنوان تابعی از دما پیشنهاد شده است، که قدیمی‌ترین آنها روش روز - درجه (Degree-Day) می‌باشد (Curry *et al.*, 1978). این روش را گاهی روش تخمین خطی رشد نیز بیان می‌دارند. اگر چه رابطه بین دما و رشد در دمای نزدیک به حداقل و حداقل غیرخطی است، اما چون بیشترین مقدار رشد در بخش خطی منحنی رخ می‌دهد و به دلیل اینکه بسیاری از حشرات بندرت در دماهای بسیار بالا یا پایین قرار می‌گیرند،

مقایسه مدل‌های غیرخطی برای پیش‌بینی نرخ رشد و نمو مراحل مختلف رشدی زنبور پارازیتوئید *H. hebetor*

بنابراین مدل‌های روز- درجه کارایی مناسبی دارند (Young & Young, 1998; Worner, 1992). در حال حاضر مدل‌های روز- درجه به عنوان جزئی مهم در مدیریت تلفیقی آفات می‌باشند (Higley et al., 1986). اطلاعات در این زمینه برای زنبور *H. hebetor* منحصر به مطالعه Adashkevich & Saidova (1987) می‌باشد. این محققان آستانه دمای پایین و بالا را به ترتیب $12/4$ و $37/8$ درجه سانتی‌گراد و مجموع دمای مؤثر برای رشد و نمو از تخم تا حشره کامل را $186/7$ روز- درجه تعیین نموده‌اند.

در این پژوهش تأثیر مدهای مختلف روی مراحل رشدی زنبور پارازیتوئید *H. hebetor* و برآش آن‌ها با مدل‌های غیرخطی مورد مطالعه قرار گرفته است.

روش بررسی

تأثیر دما بر طول دوره رشدی مراحل نابالغ: در این بررسی مدهای $16, 18, 20, 23, 25, 28, 30, 32, 35$ و 38 درجه سانتی‌گراد و رطوبت نسبی 60 ± 5 درصد و طول دوره روشنایی 16 و تاریکی 8 ساعت اعمال شد. در این آزمایش از کلنی پرورش یافته زنبور پارازیتوئید *H. hebetor* روی لاروهای سن آخر *Galleria melonella* استفاده شد که به عنوان میزبان از کلنی موجود در مؤسسه تحقیقات گیاه‌پزشکی کشور تهیه شده بود (Mohaghegh & Amirmaafi, 2007). برای هر دما بین 1400 تا 2600 عدد تخم ($1-0$ ساعته) زنبور پارازیتوئید از نسل هفتم F_7 که روی لارو میزبان گذاشته شده بود، بصورت تصادفی انتخاب و برای سهولت بررسی، هر لارو میزبان که حامل تخم زنبور پارازیتوئید بود، بصورت انفرادی در داخل ظرف پتری به قطر 5 سانتی‌متر که کف آن توسط دستمال کاغذی پوشانده شده بود، قرار داده شد. سپس برای هر دما، گروه مربوطه به 4 دسته مساوی تقسیم و در شرایطی که در بالا به آن اشاره شد، به انکوباتور منتقل شد. در مرحله تخم هر 4 ساعت یکبار و در مرحله رشدی لارو و شفیره هر 24 ساعت یکبار، ظروف پتری بازدید و تعداد و مرحله رشدی مشاهده شده، شمارش و در جداول مربوطه ثبت گردید. کلیه آزمایش‌ها در بخش تحقیقات سن گندم، مؤسسه تحقیقات گیاه‌پزشکی کشور، تهران انجام شد.

داده‌های مربوط به نرخ رشد، با هفت مدل غیرخطی به شرح زیر برآش داده شد:

۱- مدل Exponential: مدل نمایی بصورت معادله، $r_{(T)} = \Psi e^{(\rho(T-T_{\min}))}$ است. در این

معادله $r_{(T)}$ نرخ رشد، T دما و ρ, Ψ پارامترهای مدل می‌باشند و T_{\min} کمترین دمای مورد آزمایش است.

۲- مدل T_b : این مدل نمایی برای آستانه دمای پائین، تغییر داده شده است و

بصورت معادله $r_{(T)} = e^{(\rho(T-T_b))} - 1$ می‌باشد. در این معادله $r_{(T)}$ نرخ رشد، T دما و T_b, ρ پارامترهای این مدل هستند.

۳- مدل T_b : این مدل توسط Logan et al. (1979) ارایه شده است. این مدل رابطه

بین نرخ رشد و دما را با استفاده از معادله، $r_{(T)} = \Psi \{e^{(\rho(T-T_b))} - e^{-((T-T_b)/\Delta T)}\}$ بیان می‌نماید. در این معادله $r_{(T)}$ نرخ رشد، T دما و $\Delta T, T_b, \rho, \Psi$ پارامترهای این مدل می‌باشند.

۴- مدل Stinner: این مدل توسط Stinner et al. (1974) بر اساس مدل سیگمویدی

پیشنهاد شده است. این مدل رابطه بین نرخ رشد و دما را با یک زوج معادله به شرح:

$$r_{(T)} = \frac{c}{(1 + e^{(k_1 + k_2(2T_{opt} - T))})}, \langle T_{opt} \rangle T \quad \text{و} \quad r_{(T)} = \frac{c}{(1 + e^{(k_1 + k_2.T)})}, \langle T_{opt} \rangle T$$

توصیف می‌کند. در این معادله $r_{(T)}$ نرخ رشد، T دما می‌باشند. این مدل دارای ۴ پارامتر T_{opt}, k_2, k_1, c است.

۵- مدل Logan 1: این مدل توسط Logan et al. (1976) بر اساس تفرقی دو مدل نمایی

مستقل (که نشان دهنده بخش‌های صعودی و نزولی منحنی رابطه نرخ رشد و دما هستند)، ارایه شده است. نرخ رشد بر اساس معادله $r_{(T)} = \Psi(e^{\rho T} - e^{(\rho T_{\max}(T_{\max} - T)/\Delta T)})$ بیان می‌گردد. در این معادله $r_{(T)}$ نرخ رشد، T دما و $\Delta T, T_{\max}, \rho, \Psi$ پارامترهای مدل هستند.

۶- مدل Logan 2: این مدل توسط Logan et al., (1976) با اندکی تغییرات بر اساس مدل

۵ ارایه شده است، که رابطه نرخ رشد و دما بصورت:

$$r_{(T)} = x[(1 + ke^{-\rho T})^{-1} e^{-((T_{\max} - T)/\Delta T)}]$$

بیان شده است. در این معادله $r_{(T)}$ نرخ رشد و T دما بود و این معادله دارای ۵ پارامتر

است که عبارتند از: $\Delta T, T_{\max}, P, K, x$

مقایسه مدل‌های غیرخطی برای پیش‌بینی نرخ رشد و نمو مراحل مختلف رشدی زنبور پارازیتوئید *H. hebetor*

جدول ۱- میانگین طول دوره رشدی مراحل نایاب زنبور پارازیتوئید در دههای مختلف (در 5 ± 6 درصد رطوبت و طول دوره رشد شناختی و تاریکی ۸ ساعت و میزان لایوسن آخوند *G. melonella* را در شرایط مختلف درجه حرارتی (in days) of immature stages of *H. hebetor* reared on *G. melonella* larvae at different temperatures (with a RH of $60 \pm 5\%$ and 16h L: 8h D).

Temp(°C)	نرخ (Eggs) (No.)	مراحل رشدی				نرخ ناتسخه نر (Eggs to Males) (No.)
		نرخ (Larva) (No.)	نرخ (Pupa) (No.)	نرخ ناتسخه نر (Eggs to Females) (No.)	نرخ ناتسخه نر (Eggs to Males) (No.)	
16	1500	6.27 ± 0.124	0.0	0.00	0.00	0.00
18	2000	2.595±0.076	120	11.405±0.198	100	19.5 ± 0.815
20	1370	3.664±0.073	160	6.237 ± 0.128	160	17.463 ± 0.202
23	1850	1.524±0.37	410	6.232±0.159	380	9.454 ± 0.062
25	1440	1.542±0.42	370	4.675±0.11	290	8.369±0.098
28	2570	1.767±0.29	1380	3.429±0.032	1100	6.895±0.054
30	1550	1.47±0.43	550	2.079±0.039	440	6.791±0.109
32	2000	0.969±0.63	1170	2.549±0.076	960	5.826±0.023
35	1910	1.00 ± 0.00	850	3.012±0.088	770	4.417±0.063
38	2000	0.815 ± 0.024	930	2.815±0.073	710	5.156±0.028
					710	8.489±0.011
					220	8.455±0.152

۷ - $T_{type III}$: این مدل توسط Hilbert & Logan (1983) با تصحیح بخش نمایی اول مدل ۵ و تبدیل آن به یک بخش سیگمویدی ارایه شده است که به صورت:

$$r_{(T)} = \Psi \left[\frac{T^2}{T^2 + D^2} - e^{-((T_{\max} - T)/\Delta T)} \right]$$

پارامترها هستند. کلیه محاسبات در این زمینه با استفاده از نرم افزار $T_{\min}, D, \Delta T, T_{\max}, \Psi$ (Logan, 1988) PMDS انجام شد.

نتیجه و بحث

در جدول ۱، طول دوره رشدی مراحل مختلف رشدی زنبور پارازیتویید *H. hebetor* و در جدول ۲ نتایج برآورد پارامترهای مدل‌های غیرخطی برای هر یک از مراحل رشدی تخم، لارو، شفیره و از مرحله تخم تا حشره کامل (به تفکیک برای نر و ماده) ارایه شده است. بررسی‌ها نشان داد که داده‌های کلیه مراحل مورد مطالعه بخوبی با دو مدل 1 و Logan 1 و Stinner برآش یافته‌اند (بر اساس مقدار r^2 ، بنابراین برای هر یک از مراحل مورد نظر به بررسی هر دو مدل پرداخته می‌شود (البته برای مرحله رشدی لارو و تخم تا حشره کامل، مدل Type III نیز بخوبی برآش یافته، اما چون داده‌های مرحله تخم و شفیرگی اصولاً با این مدل انطباق نیافتدند از شرح آن خودداری شد).

در این بررسی رابطه بین نرخ رشد تخم زنبور *H. hebetor* و دما بخوبی با معادلات غیر خطی Stinner (۱) ($r^2=0.88$) و Logan (۱) ($r^2=0.86$) برآش یافت. لذا برای مرحله رشدی تخم این پارازیتویید روابط برای هر یک از مدل‌ها به شرح زیر است:

$r_{(T)} = \frac{1.186}{(1 + e^{(5.072 - 0.217T)})}$	$T_{opt} > T$	Stinner مدل
$r_{(T)} = \frac{1.186}{(1 + e^{(5.072 - 0.217(66.12 - T))})}$	$T_{opt} < T$	
$r_{(T)} = 0.39[e^{0.148(T-18)} - e^{0.148 \times 22.83 - (\frac{22.83-(T-18)}{5.237})}]$		Logan 1 مدل

مقایسه مدل‌های غیرخطی برای پیش‌بینی نرخ رشد و نمو مراحل مختلف رشدی زنبور پارازیتوئید *H. hebetor*

شکل ۱ (a) و (b) منحنی رشد، مرحله تخم زنبور پارازیتوئید *H. hebetor* برازش یافته توسط مدل‌های 1 و Stinner را نشان می‌دهد. همانطور که در شکل ۱ مشخص است داده‌ها بخوبی با مدل برازش یافته‌اند.

مرحله رشدی لارو نیز بخوبی با مدل‌های Stinner (r²=0.95) و 1 (r²=0.96) برازش یافتند. رابطه رشد لارو این زنبور پارازیتوئید با دما توسط مدل‌های Stinner و 1 Logan به شرح زیر است:

$r_{(T)} = \frac{0.653}{(1 + e^{(4.451 - 0.152T)})}$	T _{opt} > T	Stinner مدل
$r_{(T)} = \frac{0.653}{(1 + e^{(4.451 - 0.152(64.28 - T))})}$	T _{opt} < T	
		Logan 1 مدل
$r_{(T)} = 0.104[e^{0.107(T-18)} - e^{0.107 \times 18.7 - \frac{18.7-(T-18)}{1.916}}]$		

شکل ۱ (c) و (d) بخوبی رابطه بین نرخ رشد و دما را برای مرحله رشدی لارو برای هر یک از مدل‌ها نشان می‌دهد.

برای مرحله شفیرگی نیز داده‌های این مرحله رشدی با مدل‌های غیرخطی برازش داده شد. نتایج انطباق مدل‌ها، شبیه به مرحله تخم و لارو بود و برای این مرحله رشدی نیز داده‌ها بخوبی با مدل Stinner (r²=0.919) و مدل 1 (r²=0.919) برازش یافته و مدل‌های این ارتباط به شرح زیر است:

$r_{(T)} = \frac{0.248}{(1 + e^{(4.661 - 0.179T)})}$	T _{opt} > T	Stinner مدل
$r_{(T)} = \frac{0.248}{(1 + e^{(4.661 - 0.179(71.38 - T))})}$	T _{opt} < T	
		Logan 1 مدل
$r_{(T)} = 0.058[e^{0.1(T-18)} - e^{0.1 \times 24.1 - \frac{24.1-(T-18)}{4.015}}]$		

شکل ۱ (e) و (f) بخوبی رابطه بین نرخ رشد و دما را برای مرحله رشدی شفیره برای هر

یک از مدل‌ها نشان می‌دهد.

داده‌های کل دوره رشدی، یعنی از مرحله رشدی تخم تا حشره کامل به تفکیک برای حشرات نر و ماده با مدل‌های غیرخطی انطباق داده شد. نتایج این بررسی نشان داد که هر دو گروه داده‌ها بخوبی با مدل‌های Stinner (r²=0.99) و Logan 1 (r²=0.98) برازش می‌یابند. رابطه نرخ رشد و دما برای هر یک از مدل‌ها به تفکیک نر و ماده به شرح زیر است:

$r_{(T)} = \frac{0.141}{(1 + e^{(4.404 - 0.172T)})}$	$T_{opt} > T$	مدل Stinner
$r_{(T)} = \frac{0.141}{(1 + e^{(4.404 - 0.172(73.22 - T))})}$	$T_{opt} < T$	(مرحله تخم تا حشره کامل ماده)
<hr/>		
$r_{(T)} = \frac{0.138}{(1 + e^{(4.335 - 0.171T)})}$	$T_{opt} > T$	مدل Stinner
$r_{(T)} = \frac{0.138}{(1 + e^{(4.335 - 0.171(72.96 - T))})}$	$T_{opt} < T$	(مرحله تخم تا حشره کامل نر)
<hr/>		
$r_{(T)} = 0.048[e^{0.12(T-18)} - e^{0.12 \times 25.38 - \frac{25.38-(T-18)}{6.005}}]$		مدل Logan 1
(مرحله تخم تا حشره کامل ماده)		
<hr/>		
$r_{(T)} = 0.036[e^{0.95(T-18)} - e^{0.095 \times 24.6 - \frac{24.6-(T-18)}{4.187}}]$		مدل Logan 1
(مرحله تخم تا حشره کامل نر)		

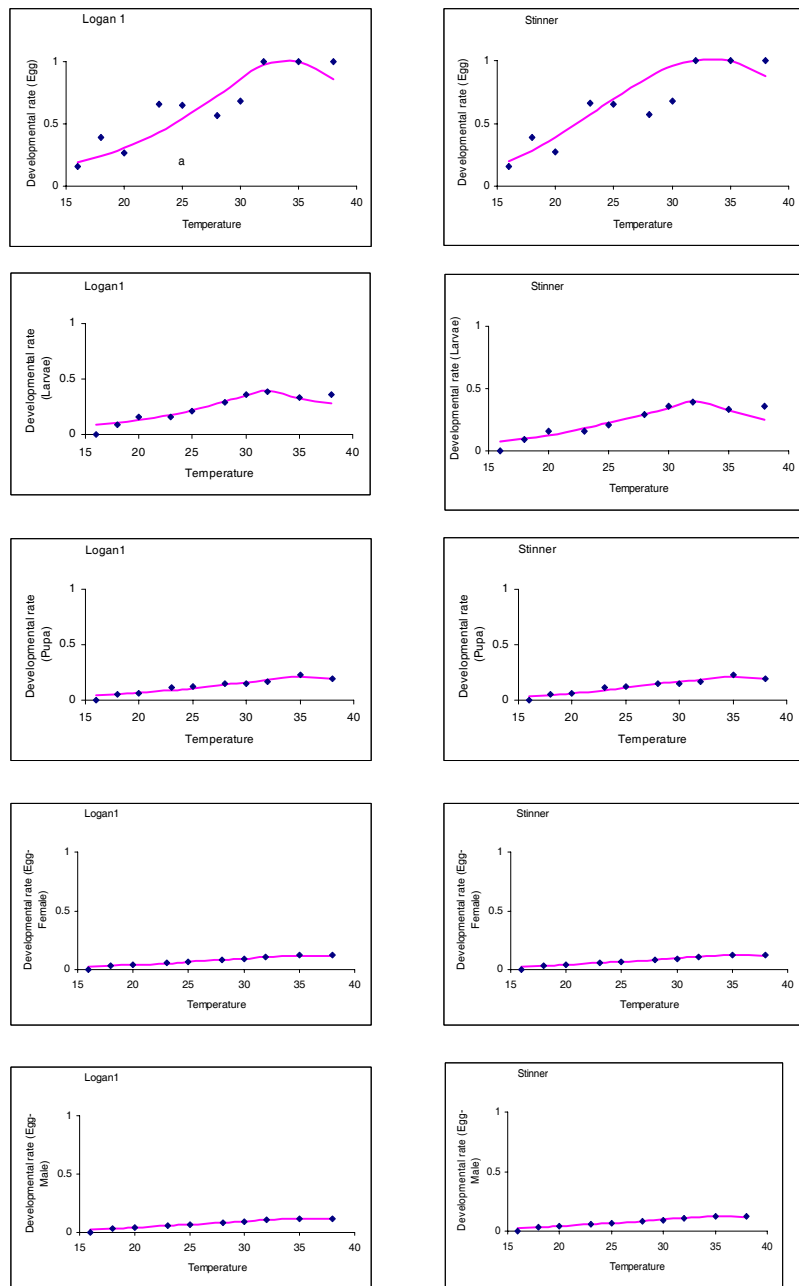
شکل ۱ (g, h, i و j) بخوبی رابطه بین نرخ رشد و دما را برای مرحله رشدی تخم تا حشره کامل ماده و نر (به تفکیک) برای هر یک از مدل‌ها نشان می‌دهد.

مقایسه مدل‌های غیرخطی برای پیش‌بینی نرخ رشد و نمو مرحله‌های مختلف رشدی زنبور پارازیتوئید *H. hebetor*

جدول ۲- مقادیر پارامترهای مدل‌های غیرخطی برآورد شده با داده‌های مرحله‌های مختلف رشدی زنبور *H. hebetor* در ۱۰ دمای ثابت و در ۶۰±۵ درجه رطوبت، طول دوره روشنایی ۱۶ و تاریکی ۸ ساعت و لارو سن آخر *G. mellonella* به عنوان میزان.

Table 2- Parameter values of different non-linear models fitted to data relevant to the different developmental stages of *H. hebetor* at different temperatures.

Model	parameter	(Developmental stages) مرحله رشد							
		Egg		Larva		Pupa		Egg to female	
		value	R ² مدل	value	R ² مدل	value	R ² مدل	value	R ² مدل
Exponential	Ψ	0.243		0.115		0.061		0.036	
	ρ	0.088	0.68	0.0797	0.62	0.072	0.74	0.071	0.80
Exponential T _b	T _b	8.69		10.46		10.614		10.86	
	ρ	0.029		0.014		0.0074		0.045	
Logan T _b	Ψ	1.98		0.298		0.305		0.103	
	ρ	-0.0025	0.85	0.017	0.75	0.002	0.89	0.014	0.013
	ΔT	24.31		9.91		22.93		14.52	
	T _b	13.75		15.28		14.55		14.61	
Stinner	c	1.186		0.653		0.248		0.141	
	K ₁	5.072	0.88	4.451	0.95	4.661	0.92	4.404	4.335
	K ₂	-0.217		-0.152		-0.179		-0.172	0.171
	T _{opt}	33.06		32.14		35.69		36.61	36.48
Logan 1	Ψ	0.39		0.104		0.058		0.048	
	ρ	0.148	0.86	0.107	0.96	0.1	0.92	0.12	0.095
	T _{max}	22.83		18.7		24.098		25.38	24.6
	ΔT	5.237		1.926		4.015		6.005	4.187
Logan 2	α	1.219		-		-		0.149	-
	K	5.038		-		-		3.873	-
	ρ	0.211	0.82	-	-	-	-	0.159	0.99
	T _{max}	21.6		-		-		23.07	-
Type III	ΔT	1.104		-		-		1.183	-
	Ψ	-		1.633		-		0.261	0.327
	T _{max}	-		28.199		-		33.156	37.91
	ΔT	-	-	0.272	0.93	-	-	0.854	0.99
	D	-		43.54		-		30.16	37.47
	T _{min}	-		7.46		-		7.283	6.088



شکل ۱- رابطه غیر خطی بین دما و نرخ رشد مراحل مختلف رشدی زنبور پارازیتوبید *H. hebetor*
Fig. 1- Non-linear relationship between temperature and developmental rate of *H. hebetor*.

مقایسه مدل‌های غیرخطی برای پیش‌بینی نرخ رشد و نمو مراحل مختلف رشدی زنبور پارازیتولید *H. hebetor*

مدل Stinner توسط محققین متعددی مانند Barnes (1976), Anderson *et al.* (1982) و Amir-Maafi (2000) برای بررسی رابطه بین رشد و دما مورد استفاده قرار گرفته است. با اینکه این مدل دارای ناپیوستگی است، اما قابلیت انعطاف این مدل به دلیل توصیف خوب آن از رشد و نمو می‌باشد (Got *et al.*, 1994). در منابع به کاربردهای متعددی از مدل 1 Logan & Amman, 1986; Allen, 1988; Logan, 1988;) و Logan *et al.*, 1991 و Worner (1992) .(Bentz *et al.*, 1991; Gray *et al.*, 1991; Arbab *et al.*, 2006; Logan *et al.*, 1991 مهم‌ترین مزیت مدل Logan را محدود بودن پارامترهای آن می‌داند (داری ۴ پارامتر)، البته می‌توان پارامتر پنجم را به آن اضافه نمود، این پارامتر آستانه دما را تخمین می‌زند و به دلیل اینکه عموماً دماهای مورد مطالعه بالاتر از صفر درجه سانتی‌گراد است، بر رفتار مدل تأثیری ندارد. در این پژوهش مشخص شد که مدل‌های Logan1 و Stinner به خوبی داده‌های مربوط به کلیه مراحل رشدی *H. hebetor* را توصیف می‌کنند و لذا مناسب‌ترین مدل در توصیف روابط بین نرخ رشد مراحل مختلف رشدی پارازیتولید مورد مطالعه و دما به شمار می‌روند.

Hilbert & Logan (1983) بیان می‌دارند که مدل‌های غیرخطی در اصل واقعی‌تر از مدل‌های خطی هستند و این مدل‌ها می‌توانند رشد و نمو مراحل مختلف رشدی حشرات را در دماهای پایین و بالا بخوبی توصیف نمایند. وجود رابطه غیرخطی نرخ رشد با دما در این گونه، ویژگی بسیاری از گونه‌های دیگر حشرات و کنه‌های گیاهی است (Briere & Pracros, 1998). غیرخطی بودن رابطه بین نرخ رشد و دما این فرضیه را تأیید می‌کند که فرایندهای کنترل کننده رشد و نمو غیرخطی هستند (Lamb, 1992). رابطه بین نرخ رشد حشره و دما از مدت‌ها قبل مشخص شده و به عنوان یک متغیر مهم اکولوژیکی در مدل سازی دینامیک جمعیت حشرات نقش بازی می‌کند (Jarosik *et al.*, 2002).

در این بررسی مشخص شد که دامنه دمایی برای رشد و نمو *H. hebetor* بین ۱۸ و ۳۸ درجه سانتی‌گراد قرار دارد. دامنه دوره رشد و نمو آن در این محدوده دمایی از تخم تا حشره ماده از $0/069 \pm 0/368$ تا $8/33$ روز و از تخم تا حشره نر از $0/152 \pm 0/455$ تا $33/857 \pm 1/299$ روز در نوسان بود. بطور کلی با افزایش دما دوره رشدی برای هر دو جنس نر و ماده کاهش یافت. نتایج حاصله نشان داد که دماهای بالاتر (۳۵ و ۳۸ درجه سانتی‌گراد)

باعث کاهش نرخ رشد از روند خطی گردید. روند مشابهی نیز توسط Arbab *et al.* (2006) در مورد شته سبز سیب (*Aphis pomi* (DeGeer) مشاهده شده است.

بر اساس یافته‌های Miller (1996) مطالعاتی که در آن‌ها نیازهای رشد و نمو وابسته به دما در جمعیت گونه‌های پارازیتوئید مورد مقایسه قرار می‌گیرد، پایگاه اطلاعاتی را به وجود خواهد آورده که پیش‌بینی و انتخاب عامل مناسب‌تر در کنترل بیولوژیک در آن امکان‌پذیر می‌شود. به هر حال، چنین پیش‌بینی‌هایی تنها روابط نرخ رشد وابسته به دما بین پارازیتوئید و میزبان را در نظر می‌گیرند، در حالی که سایر عوامل مانند بارآوری و قدرت میزبان یا بی بیز نیز بر کارایی پارازیتوئید تأثیرگذار هستند. دسترسی به داده‌های فوق الذکر و اطلاعات مربوط به روابط وابسته به دما بین میزبان و پارازیتوئید، پیش‌بینی‌های خاصی را در ارتباط با گونه‌ها و محل‌های مناسب رها سازی دشمنان طبیعی فراهم می‌کنند که باید وارد و آزمایش شوند. بررسی و آزمایش نهائی چنین پیش‌بینی‌هایی می‌تواند در اجرای برنامه‌های کنترل بیولوژیک از طریق اصلاح و بهبود فرایند تصمیم‌گیری مربوط به دستیابی و رهاسازی دشمنان طبیعی راه گشای باشد.

در مدیریت تلفیقی آفات و بویژه راهکار کنترل بیولوژیک، مطالعات بیوکلیماتیک داری اهمیت و جایگاه ویژه‌ای می‌باشند. بازیبینی (1993) Stiling نشان می‌دهد که ۳۵ درصد از دلایل عمومی شکست در کنترل بیولوژیک کلاسیک، در ارتباط با شرایط آب و هوا می‌باشد. مطالعات بیوکلیماتیک برای آفات و دشمنان طبیعی آن‌ها در توصیف توزیع جغرافیایی آن‌ها مؤثر بوده و محدودیت‌های فیزیولوژیکی احتمالی رهاسازی آن‌ها را در مناطق مختلف روشن می‌کند (Messenger, 1959, 1971). همچنین (1993) Stiling بیان می‌دارد در صورتی که بین گونه‌های رهاسازی شده و شرایط آب و هوایی منطقه‌ای که در آن رهاسازی صورت گرفته، سازگاری وجود داشته باشد، احتمال موفقیت کنترل بیولوژیک و تنظیم جمعیت آفت توسط دشمن طبیعی رهاسازی شده، افزایش می‌یابد.

سپاسگزاری

نگارندگان مقاله از مدیریت مؤسسه تحقیقات گیاه‌پزشکی کشور بخاطر در اختیار گذاشتن

مقایسه مدل‌های غیرخطی برای پیش‌بینی نرخ رشد و نمو مراحل مختلف رشدی زنبور پارازیتوئید *H. hebetor*

امکانات این تحقیق، تشرک و قدردانی می‌نمایند. همچنین از تکنسین‌های بخش تحقیقات سن گندم این مؤسسه آقایان علی اکبر حسنی و محمود صفری و خانم مرجان بی‌آبی سپاسگزاری می‌نمایند.

نشانی نگارنده‌گان: مهندس مریم فروزان و دکتر احمد صحراءگرد، گروه گیاه‌پژوهشکی دانشکده کشاورزی دانشگاه گیلان، ایران؛ دکتر مسعود امیرمعافی، بخش تحقیقات سن گندم، موسسه تحقیقات گیاه‌پژوهشکی کشور، صندوق پستی ۱۴۵۴، تهران ۱۹۳۹۵، ایران.